



Modélisation du couplage conduction-rayonnement dans des milieux fibreux à fibres semi-transparentes

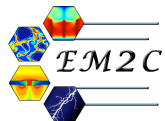


CentraleSupélec

Y. Dauvois^{1,2}, D. Rochais², F. Enguehard¹, J. Taine¹

¹ Laboratoire EM2C, UPR 288 CNRS, CentraleSupélec, Grande Voie des Vignes, 92295 Châtenay-Malabry

² Laboratoire DAM/DMAT/LMC, CEA Le Ripault, BP 16, 37260 Monts



Introduction

- **Les matériaux constitués de fibres de zirconium ou d'alumine sont de plus en plus envisagés comme isolants thermiques à haute température** (au delà de 1000°C).
- Domaines d'application : utilisés comme barrières thermiques pour l'aéronautique, la rentrée atmosphérique, ou dans les réacteurs nucléaires.
- A haute température le transfert radiatif peut devenir prépondérant devant les autres modes de transfert.
- Objectif : **prédire par calcul les propriétés thermiques de tels milieux.**
- Améliorer et optimiser leur comportement en conditions d'utilisation, pour concevoir des systèmes les plus isolants et les plus légers possible.

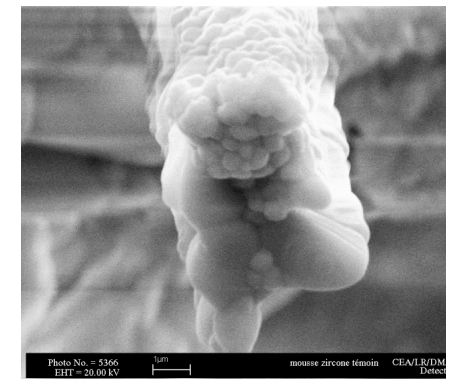
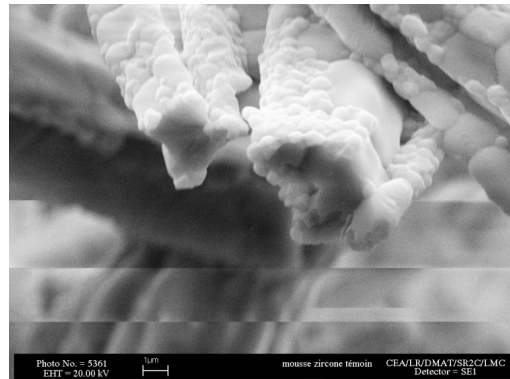
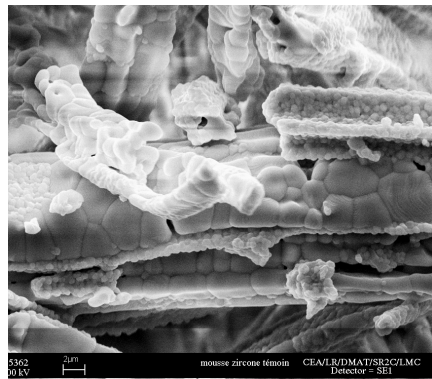
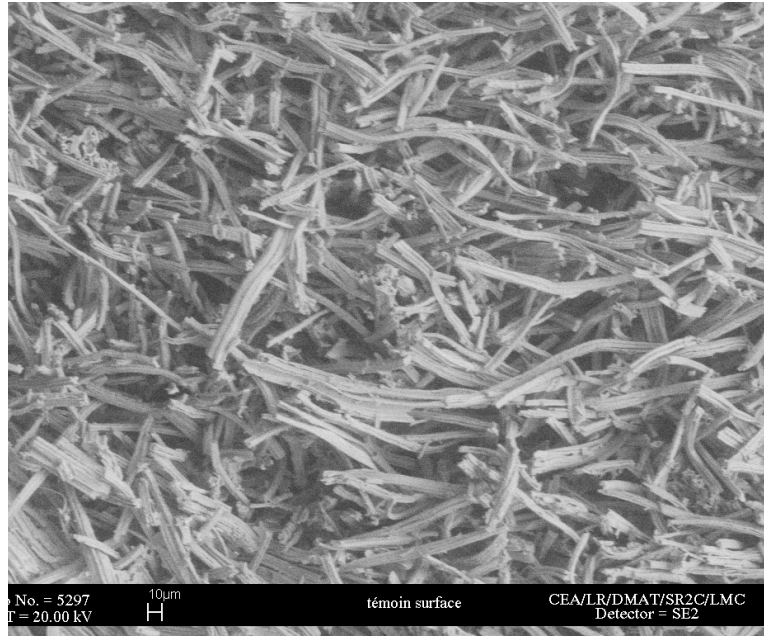
Sommaire

- **Introduction**
- **Résolution du problème radiatif dans les milieux fibreux**
 - Génération numérique d'un milieu fibreux
 - Caractérisation radiative d'un milieu poreux
 - Résolution
- **Couplage avec la conduction thermique dans les fibres**
 - Résolution stochastique
 - Couplage avec le rayonnement
 - Un exemple
- **Conclusion et perspectives**

- **Résolution du problème radiatif dans les milieux fibreux**
 - Génération numérique d'un milieu fibreux
 - Caractérisation radiative d'un milieu poreux
 - Résolution

Zircar HD composé de fibres de zircone (70%)

Images obtenues au MEB

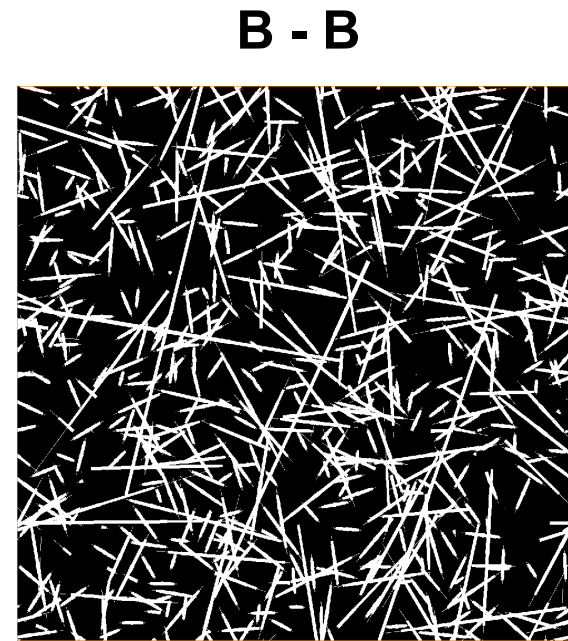
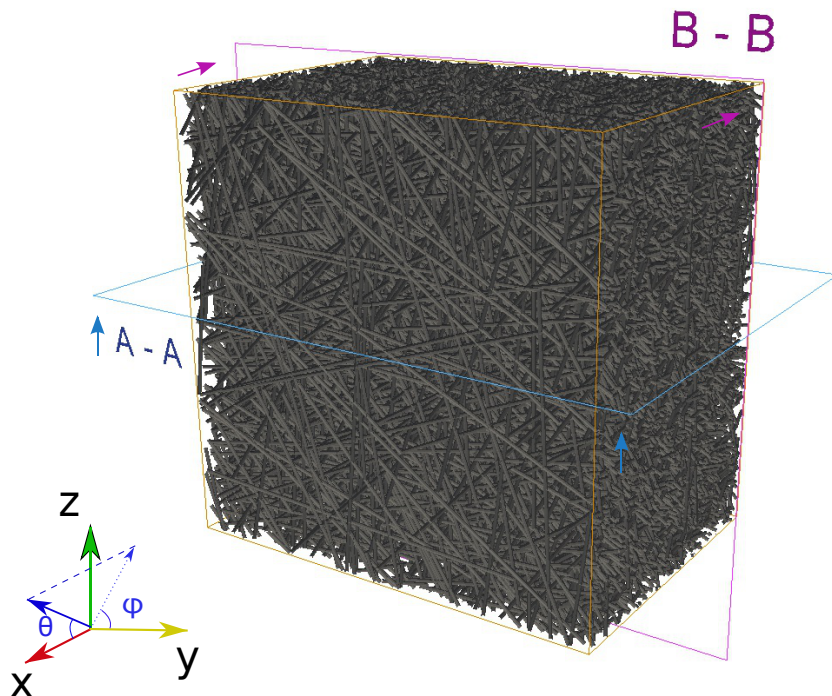


Modélisation du transfert thermique conductif et radiatif dans les matériaux fibreux

Génération numérique d'un milieu fibreux

Empilement de cylindres plongé dans le vide :

- Fibres semi-transparentes absorbantes plongées dans une phase transparente.
- Anisotrope : orientation préférentielle des fibres (plan yz)
- Porosité : 75%
- Allongement : 100



Notion de milieu non Beerien

Hypothèse du milieu Beerien :

- Loi de Beer-Lambert : Transmittivité :

$$\tau' = \exp \left[\int_s^{s'} -\beta(s'') ds'' \right]$$

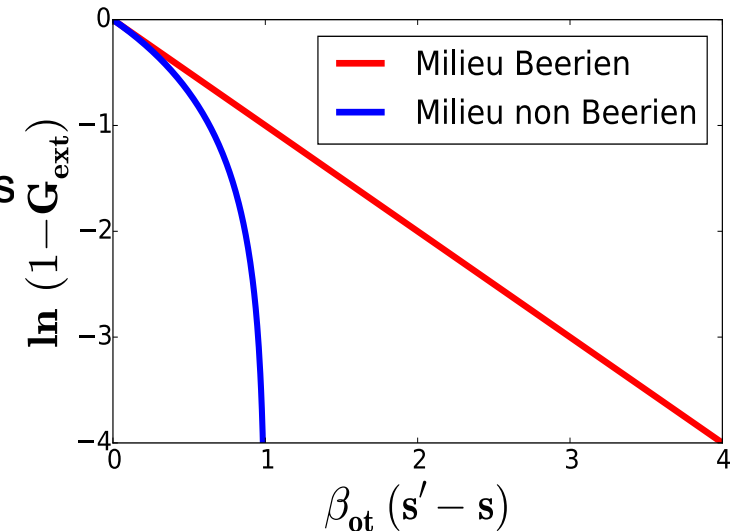
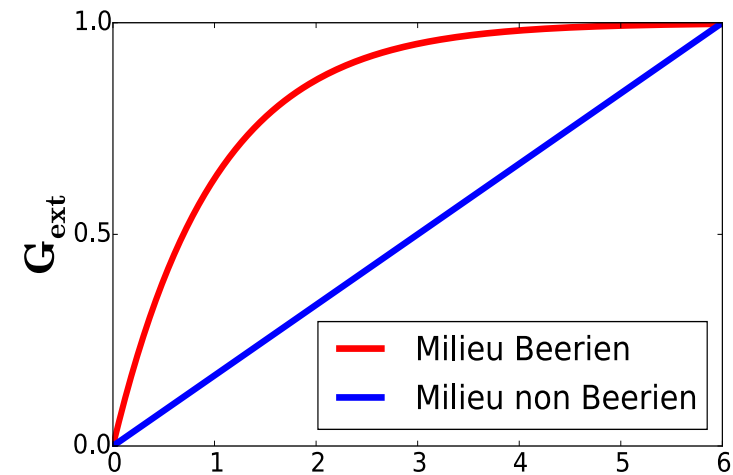
- Propriétés radiatives : β_{ext} , κ_{abs} , σ_{diff} , \mathbf{p}
- ETR

Milieu non Beerien :

- On définit des fonctions de distributions cumulées

➤ \mathbf{G}_{ext} , \mathbf{P}_a , \mathbf{P}_{sc} , \mathbf{p}

- La transmittivité : $\tau' = 1 - \mathbf{G}_{\text{ext}}(s' - s, \mathbf{u})$
- ETRG



Caractérisation radiative d'un milieu poreux

- Dans le cas général :
- **Extinction** : $G_{\text{ext}}(\mathbf{s}' - \mathbf{s}, \mathbf{u})$ = Probabilité qu'un rayon issu d'un point $M(\mathbf{s})$ qui se propage dans une direction \mathbf{u} soit éteint sur une distance $(\mathbf{s}' - \mathbf{s})$.
- **Absorption** : $P_a(\mathbf{s}' - \mathbf{s}, \mathbf{u})$
- **Diffusion en volume** : $P_{\text{sc}}^v(\mathbf{s}' - \mathbf{s}, \mathbf{u})$
- **Diffusion par réflexion** : $P_{\text{sc}}^r(\mathbf{s}' - \mathbf{s}, \mathbf{u})$
- **Diffusion par transmission** : $P_{\text{sc}}^t(\mathbf{s}' - \mathbf{s}, \mathbf{u})$
- **Fonction de phase** : $p(\mathbf{u}, \mathbf{u}')$ = Fonction de distribution des directions diffusées lorsque le phénomène de diffusion a lieu.
- Avec la propriété :

$$G_{\text{ext}}(\mathbf{s}, \mathbf{u}) = P_a(\mathbf{s}, \mathbf{u}) + P_{\text{sc}}^v(\mathbf{s}, \mathbf{u}) + P_{\text{sc}}^r(\mathbf{s}, \mathbf{u}) + P_{\text{sc}}^t(\mathbf{s}, \mathbf{u})$$

Caractérisation radiative d'un milieu poreux

- **Pour un milieu optiquement épais ($\kappa L \gg 1$)** : Le problème ne dépend que des coefficients généralisés définis à l'équilibre :

Milieu Beerien

- **Extinction** : $B(\mathbf{u}) = \frac{1}{\int_0^\infty [1 - G_{\text{ext}}(s, \mathbf{u})] ds}$ \longrightarrow $\beta(\mathbf{u})$

- **Absorption** : $K(\mathbf{u}) = P_a(\infty, \mathbf{u}) B(\mathbf{u})$ \longrightarrow $\kappa(\mathbf{u})$

- **Diffusion** : $\Sigma(\mathbf{u}) = P_{\text{sc}}(\infty, \mathbf{u}) B(\mathbf{u})$ \longrightarrow $\sigma(\mathbf{u})$

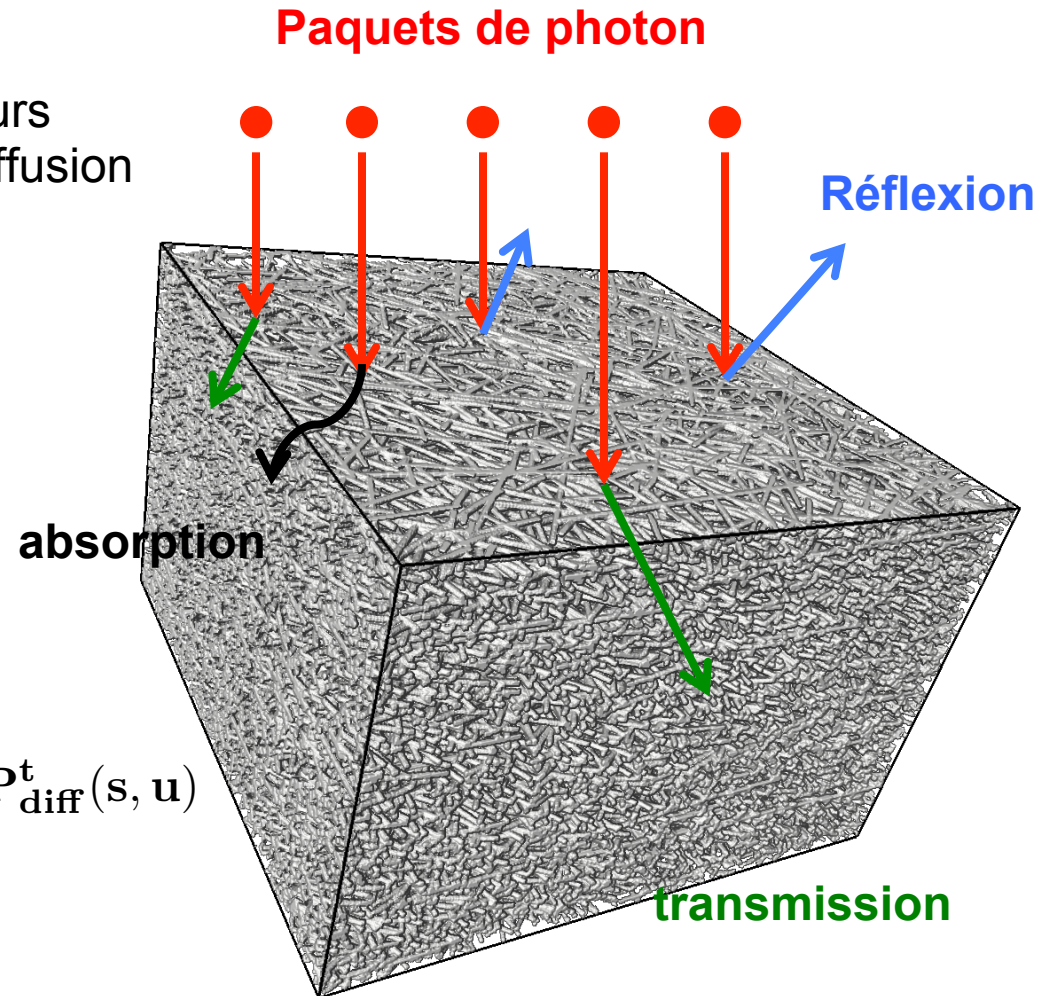
Caractérisation radiative d'un milieu poreux

Méthode de Monte Carlo :

- On simule un très grand nombre de phénomènes radiatifs dans le milieu étudié.
- G_{ext} , P_a , P_{diff} : Cumul des longueurs d'**extinction**, d'**absorption** et de diffusion (**réflexion** et **transmission**)
- Réflexion spéculaire (ballistique)

- On a la propriété :

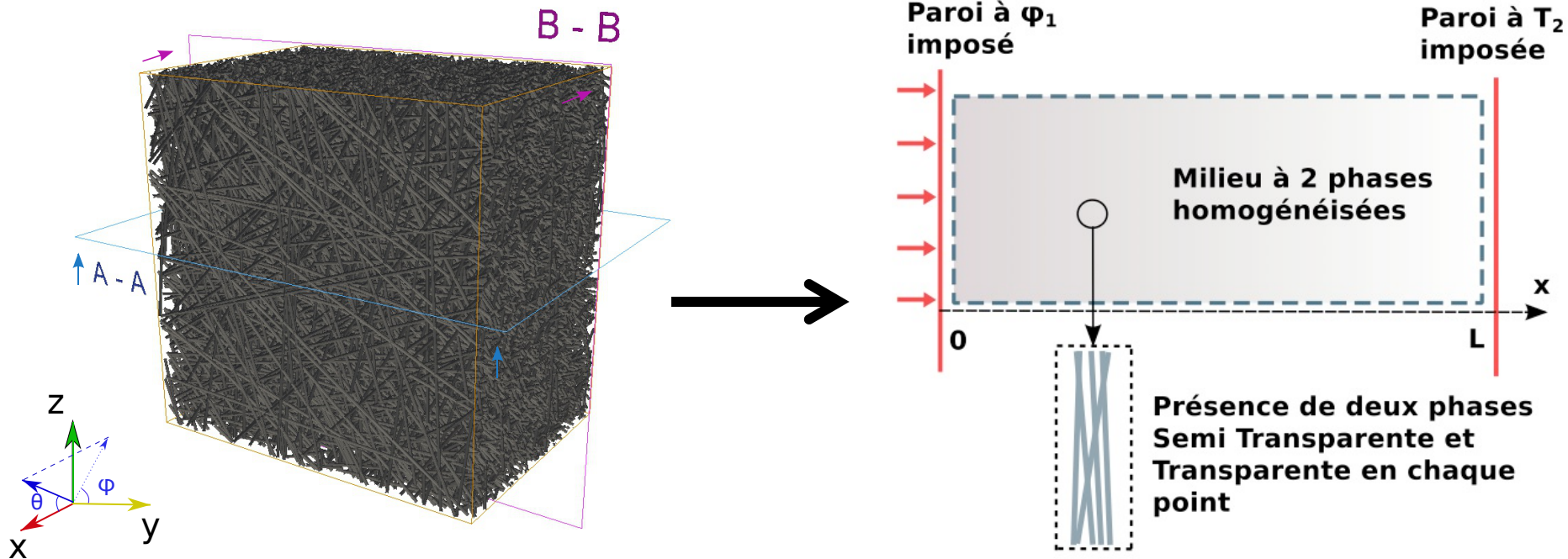
$$G_{\text{ext}}(s, u) = P_a(s, u) + P_{\text{diff}}^r(s, u) + P_{\text{diff}}^t(s, u)$$



Problème thermique

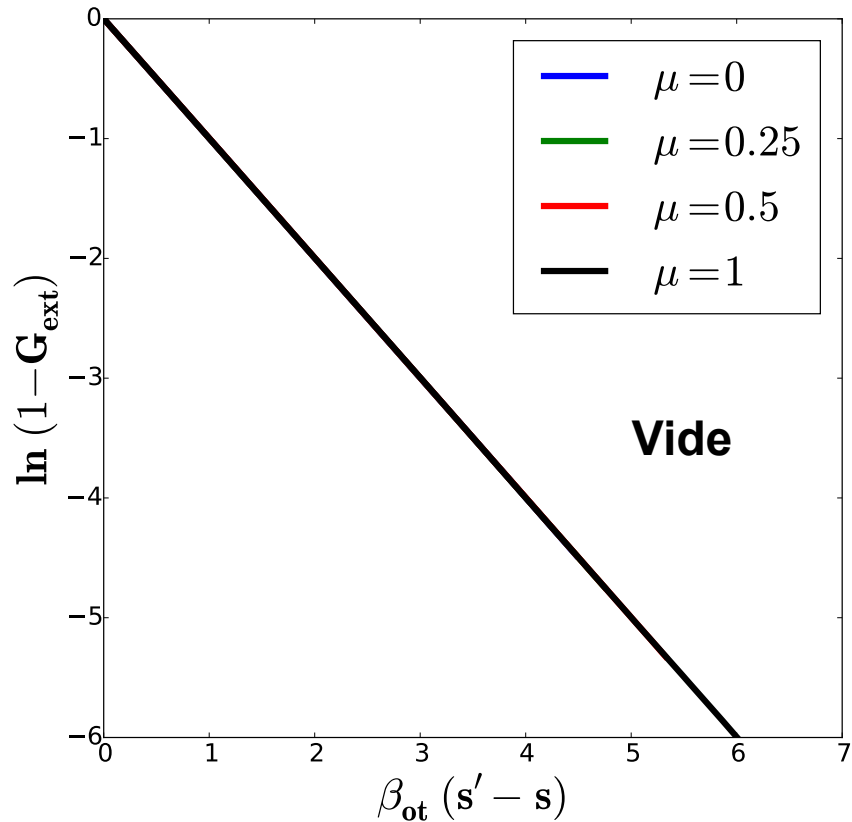
Problème radiatif :

- Homogénéisation du milieu poreux.
- En chaque point du milieu homogénéisé on connaît :
 - La probabilité de présence de chaque phase (**porosité**).
 - Caractérisée par leurs fonctions statistiques radiatives (\mathbf{G}_{ext} , \mathbf{P}_a , \mathbf{P}_{diff} , \mathbf{p}).



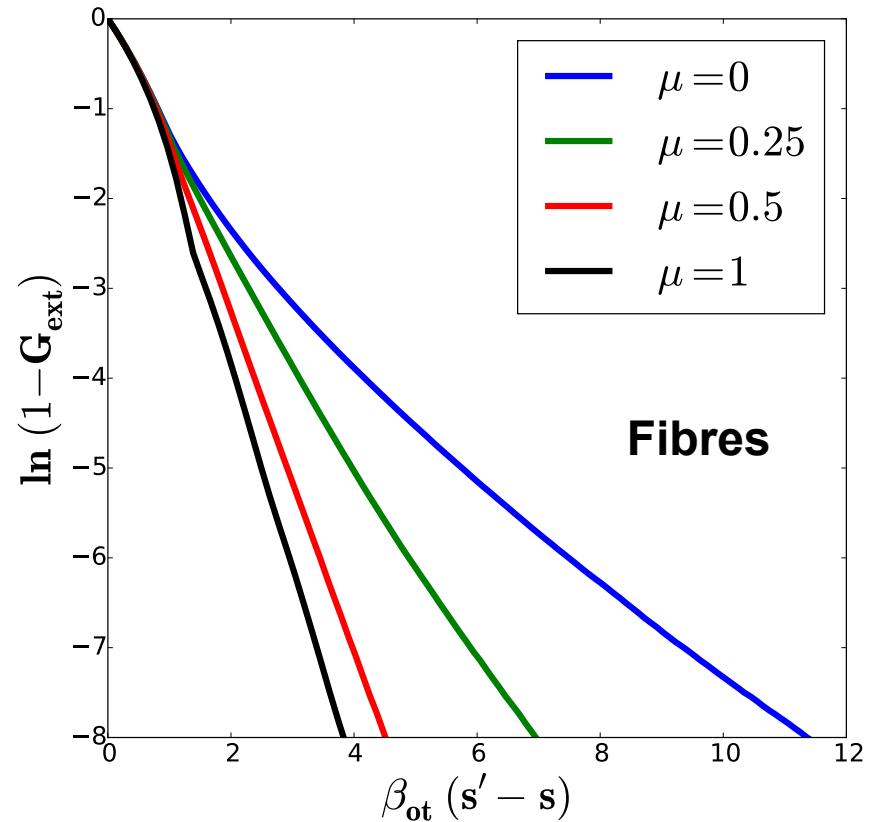
Propriétés radiatives

Propriétés radiatives d'un milieu fibreux :



Milieu Beerien :

β_{ext} , κ_a , σ_{diff} , ρ + ETR

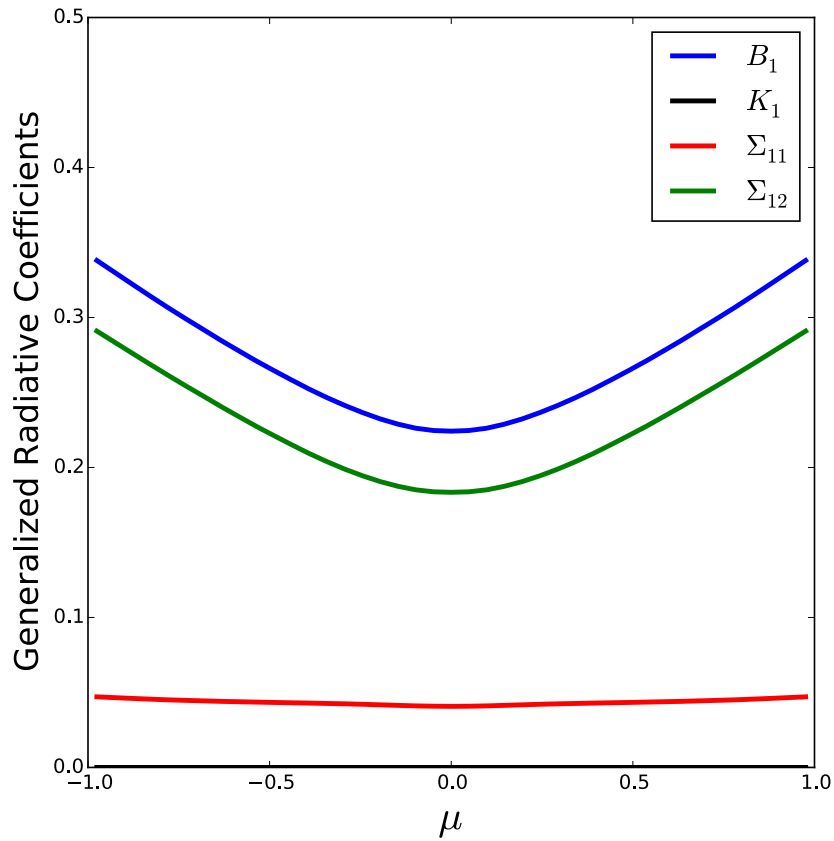


Milieu non Beerien :

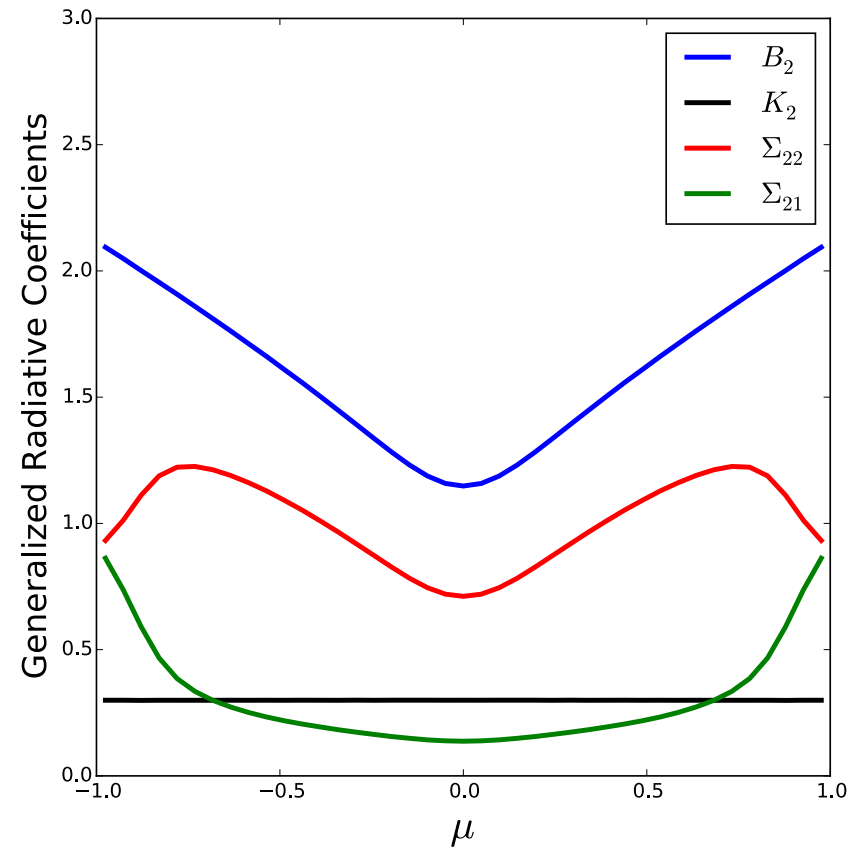
G_{ext} , P_a , P_{diff} , ρ + ETRG

Propriétés radiatives

Vide



Fibres

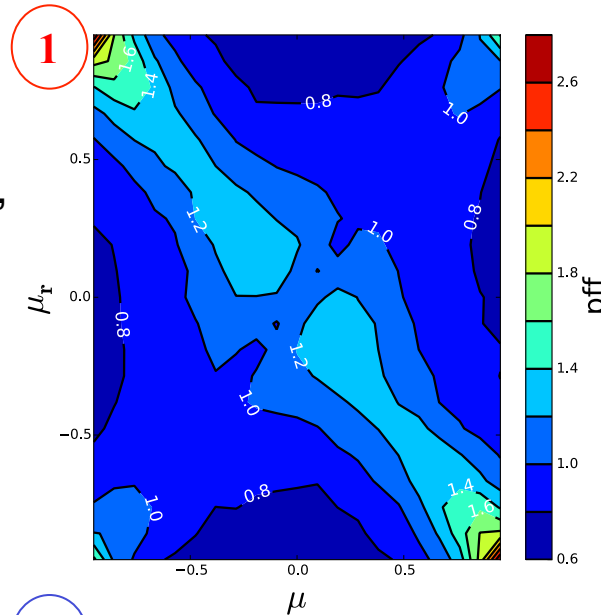


Propriétés radiatives

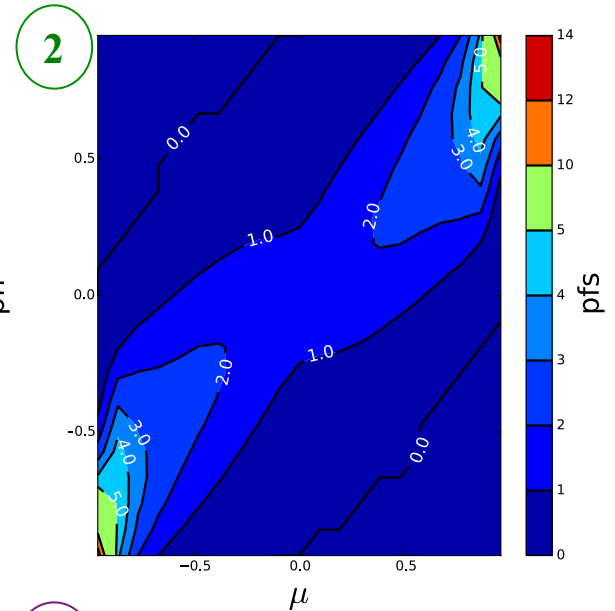
Fonctions de phase :

- 2 phases : 4 Fonctions de phase, réflexion spéculaire, $n_{\text{fibres}} / n_{\text{vide}} = 2$

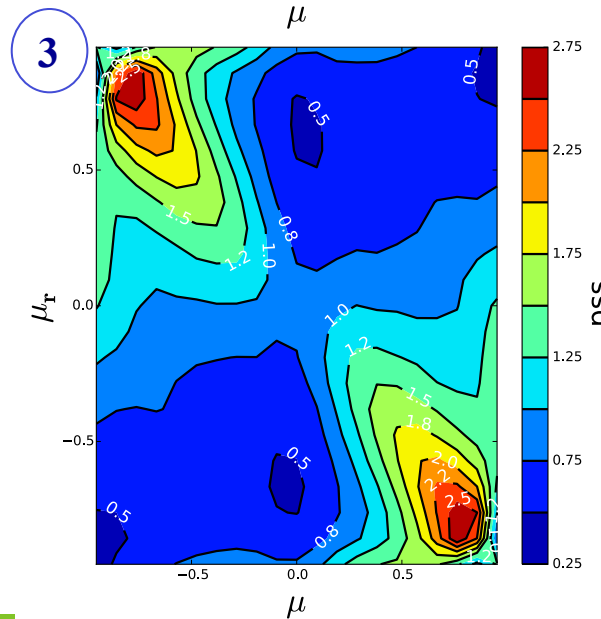
1 Réflexion dans le vide



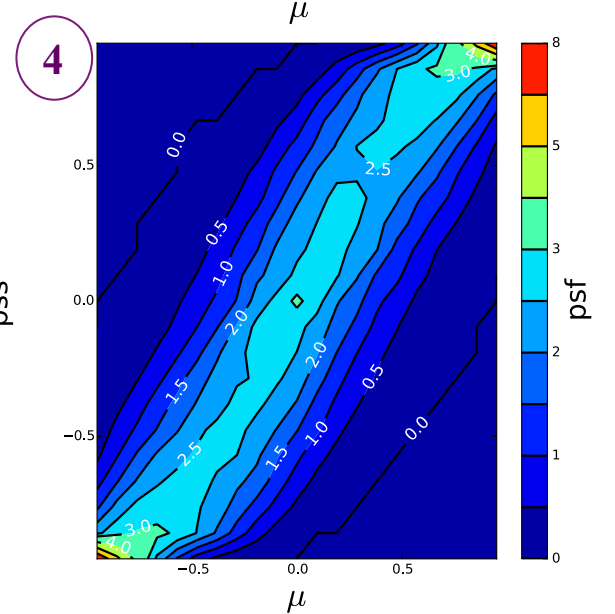
2 Transmission vide vers fibres



3 Réflexion dans les fibres



4 Transmission fibres vers vide



Equation de transfert + milieu optiquement épais

Vide = Milieu Beerien : ETR

$$\underbrace{\frac{d}{ds} L'_1(s, u)}_{\text{Terme de transport}} = \underbrace{\kappa_1 L'_\nu[T_1(s)]}_{\text{émission}} - \underbrace{\beta_1 L'_1(s, u)}_{\text{extinction}} + \underbrace{\frac{1}{4\pi} \left[\int_{4\pi} \sigma_{11}^r(u') p_{11}^r(u' \rightarrow u) L'_1(s, u') d\Omega' \right]}_{\text{diffusion constructive réfléchie}} + \underbrace{\frac{\Pi_2}{\Pi_1} \int_{4\pi} \Sigma_{21}^t(u') p_{21}^t(u' \rightarrow u) L'_2(s, u') d\Omega'}_{\text{diffusion constructive transmise}}$$

Fibres = Milieu non Beerien : ETRG + hypothèse du milieu optiquement épais ($\kappa L \gg 1$ + loin des bords) : $B_\nu(G_{\text{ext}})$, $K_\nu(P_a)$, $\Sigma_\nu(P_{\text{diff}})$

$$\underbrace{\frac{d}{ds} L'_2(s, u)}_{\text{Terme de transport}} = \underbrace{K_2 L'_\nu[T_2(s)]}_{\text{émission}} - \underbrace{B_2 L'_2(s, u)}_{\text{extinction}} + \underbrace{\frac{1}{4\pi} \left[\int_{4\pi} \Sigma_{22}^r(u') p_{22}^r(u' \rightarrow u) L'_2(s, u') d\Omega' \right]}_{\text{diffusion constructive réfléchie}} + \underbrace{\frac{\Pi_1}{\Pi_2} \int_{4\pi} \sigma_{12}^t(u') p_{12}^t(u' \rightarrow u) L'_1(s, u') d\Omega'}_{\text{diffusion constructive transmise}}$$

Equation de transfert + milieu optiquement épais

Vide = Milieu Beerien : ETR

$$\underbrace{\frac{d}{ds} L'_1(s, u)}_{\text{Terme de transport}} = \underbrace{\kappa_1 L'_\nu[T_1(s)]}_{\text{émission}} - \underbrace{\beta_1 L'_1(s, u)}_{\text{extinction}} + \underbrace{\frac{1}{4\pi} \left[\int_{4\pi} \sigma_{11}^r(u') p_{11}^r(u' \rightarrow u) L'_1(s, u') d\Omega' \right]}_{\text{diffusion constructive réfléchie}} + \underbrace{\frac{\Pi_2}{\Pi_1} \int_{4\pi} \Sigma_{21}^t(u') p_{21}^t(u' \rightarrow u) L'_2(s, u') d\Omega'}_{\text{diffusion constructive transmise}}$$

Résolution par une méthode de perturbation → loi de Fourier

Fibres = Milieu non Beerien : ETRG + hypothèse du milieu optiquement épais ($\kappa L \gg 1$ + loin des bords) : $B_\nu(G_{\text{ext}})$, $K_\nu(P_a)$, $\Sigma_\nu(P_{\text{diff}})$

$$\underbrace{\frac{d}{ds} L'_2(s, u)}_{\text{Terme de transport}} = \underbrace{K_2 L'_\nu[T_2(s)]}_{\text{émission}} - \underbrace{B_2 L'_2(s, u)}_{\text{extinction}} + \underbrace{\frac{1}{4\pi} \left[\int_{4\pi} \Sigma_{22}^r(u') p_{22}^r(u' \rightarrow u) L'_2(s, u') d\Omega' \right]}_{\text{diffusion constructive réfléchie}} + \underbrace{\frac{\Pi_1}{\Pi_2} \int_{4\pi} \sigma_{12}^t(u') p_{12}^t(u' \rightarrow u) L'_1(s, u') d\Omega'}_{\text{diffusion constructive transmise}}$$



Conductivité radiative

Modélisation du transfert thermique conductif et radiatif dans les matériaux fibreux

Equation de transfert

Vide = Milieu Beerien : ETR

$$\underbrace{\frac{d}{ds} L'_1(s, u)}_{\text{Terme de transport}} = \underbrace{\kappa_1 L'_\nu[T_1(s)]}_{\text{émission}} - \underbrace{\beta_1 L'_1(s, u)}_{\text{extinction}} + \underbrace{\frac{1}{4\pi} \left[\int_{4\pi} \sigma_{11}^r(u') p_{11}^r(u' \rightarrow u) L'_1(s, u') d\Omega' \right]}_{\text{diffusion constructive réfléchie}} + \underbrace{S_{21}^{sc}(s, u)}_{\text{diffusion constructive transmise}}$$

Fibres = Milieu non Beerien : ETRG

$$\underbrace{\frac{d}{ds} L'_2(s, u)}_{\text{Terme de transport}} = S_2(s, u) - \underbrace{\int_{s_b}^s S_2(s', u) \frac{d}{ds} G_{ext 2}(s - s') ds'}_{\text{Terme d'extinction}} - \underbrace{L_2^b(s_b, u) \frac{d}{ds} G_{ext 2}(s - s_b)}_{\text{Effets de bord}}$$

$$S_2(s, u) = \underbrace{S_2^e(s)}_{\text{émission}} + \underbrace{S_{22}^{sc}(s, u) + S_{12}^{sc}(s, u)}_{\text{diffusion constructive}}$$

Equation de transfert

Vide = Milieu Beerien : ETR

$$\underbrace{\frac{d}{ds} L'_1(s, u)}_{\text{Terme de transport}} = \underbrace{\kappa_1 L'_\nu[T_1(s)]}_{\text{émission}} - \underbrace{\beta_1 L'_1(s, u)}_{\text{extinction}}$$

$$+ \underbrace{\frac{1}{4\pi} \left[\int_{4\pi} \sigma_{11}^r(u') p_{11}^r(u' \rightarrow u) L'_1(s, u') d\Omega' \right]}_{\text{diffusion constructive réfléchie}} + \underbrace{S_{21}^{sc}(s, u)}_{\text{diffusion constructive transmise}}$$

Résolution par une méthode de Monte Carlo

Fibres = Milieu non Beerien : ETRG

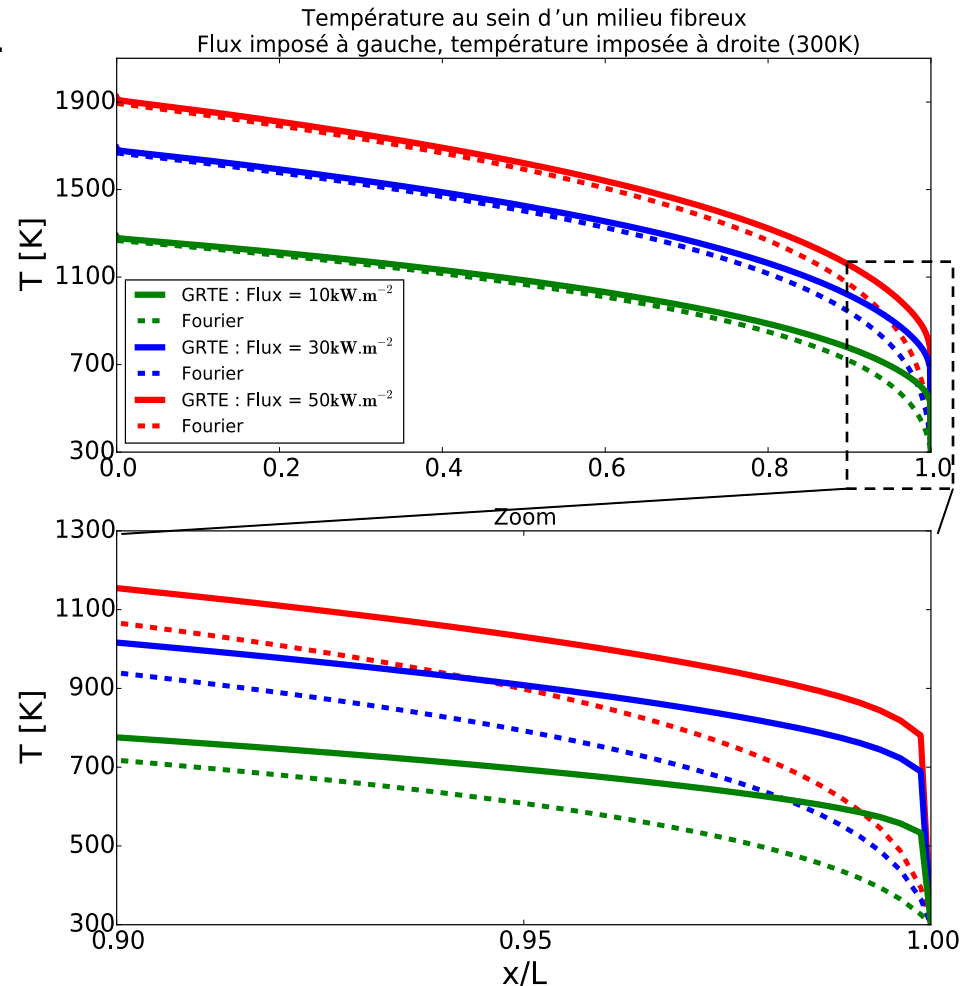
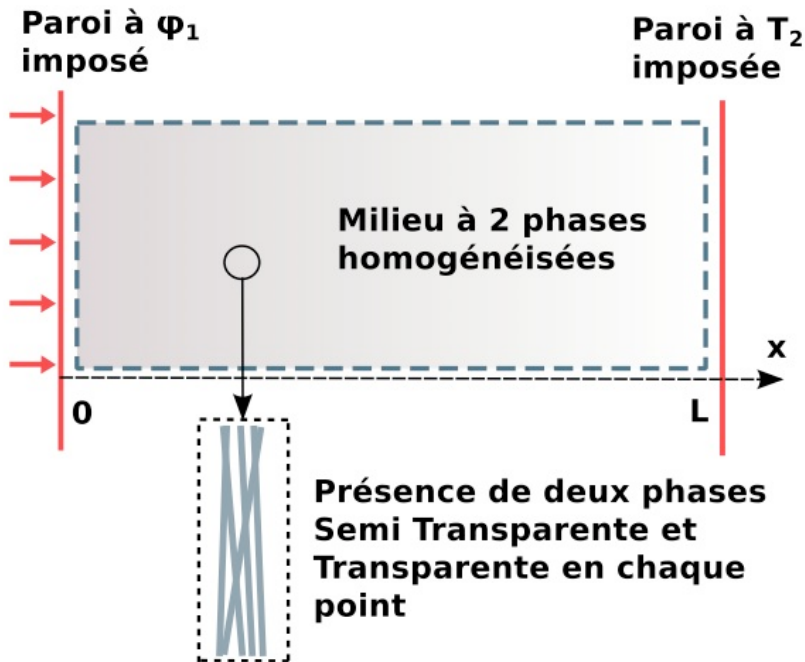
$$\underbrace{\frac{d}{ds} L'_2(s, u)}_{\text{Terme de transport}} = S_2(s, u) - \underbrace{\int_{s_b}^s S_2(s', u) \frac{d}{ds} G_{ext 2}(s - s') ds'}_{\text{Terme d'extinction}} - \underbrace{L_2^b(s_b, u) \frac{d}{ds} G_{ext 2}(s - s_b)}_{\text{Effets de bord}}$$

$$S_2(s, u) = \underbrace{S_2^e(s)}_{\text{émission}} + \underbrace{S_{22}^{sc}(s, u) + S_{12}^{sc}(s, u)}_{\text{diffusion constructive}}$$

Application à un milieu fibreux

Prise en compte des effets de bord :

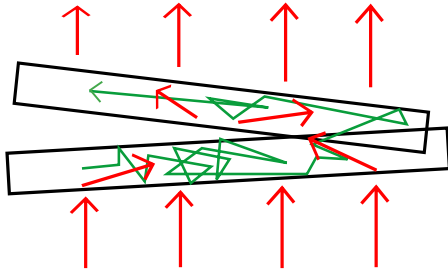
- Résolution par une méthode de Monte Carlo similaire à une méthode classique de résolution de l'ETR.



- **Couplage avec la conduction thermique dans les fibres**
 - Résolution stochastique
 - Couplage avec le rayonnement
 - Un exemple

Résolution stochastique

- **Problème thermique dans les fibres :**



$$\lambda \Delta \mathbf{T}(\mathbf{s}) = -\mathbf{P}(\mathbf{s})$$

- **Processus de diffusion :**

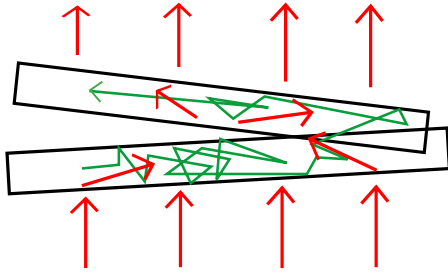
- L'équation régissant le mouvement d'une particule dans un milieu dont les propriétés physiques peuvent varier s'écrit :

$$d\mathbf{X}(t) = \underbrace{\mathbf{a}[\mathbf{X}(t)] dt}_{\text{dérive / terme advectif}} + \underbrace{\mathbf{b}[\mathbf{X}(t)] dB(t)}_{\text{diffusion}}$$

- On appelle $X(t)$ processus statistique de diffusion Itô et $B(t)$ Mouvement Brownien. a est la matrice de déplacement, b la matrice de diffusion.

Résolution stochastique

- **Problème thermique dans les fibres :**



$$\lambda \Delta \mathbf{T}(\mathbf{s}) = -\mathbf{P}(\mathbf{s})$$

- **Processus de diffusion :**

- L'équation régissant le mouvement d'une particule dans un milieu dont les propriétés physiques peuvent varier s'écrit :

$$d\mathbf{X}(t) = \mathbf{a}[\mathbf{X}(t)] dt + \underbrace{\mathbf{b}[\mathbf{X}(t)]}_{1} d\mathbf{B}(t)$$

Conductivité isotrope

0

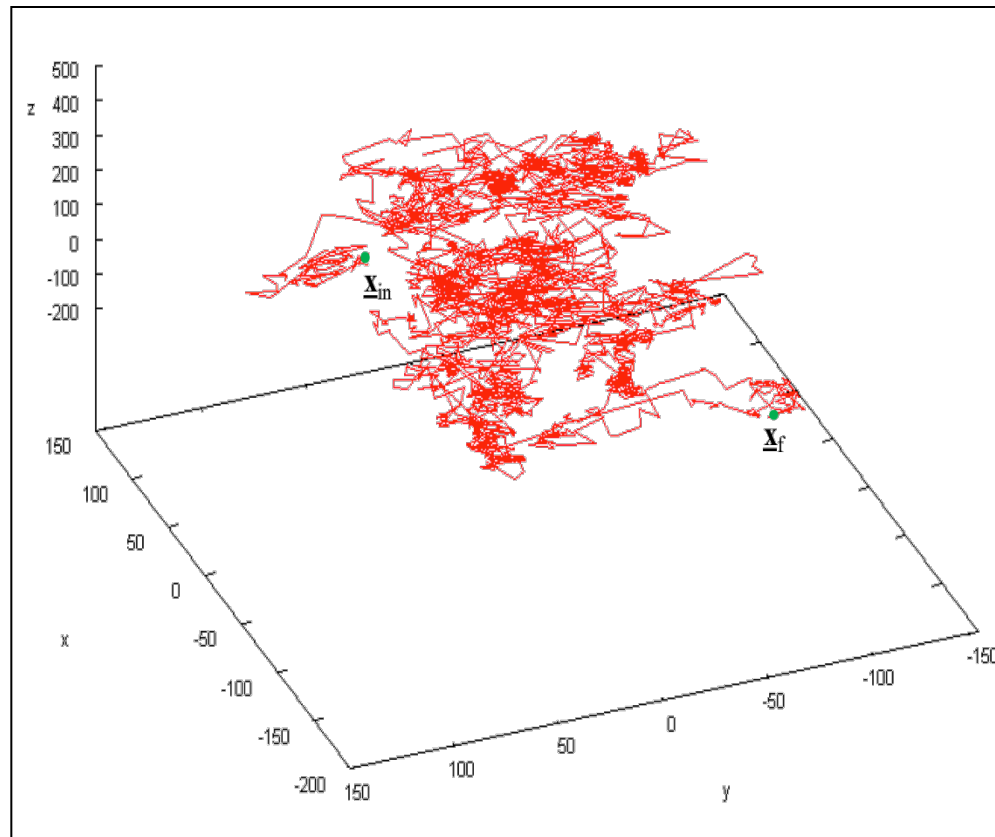
1

-

$$d\mathbf{X}(t) = d\mathbf{B}(t)$$

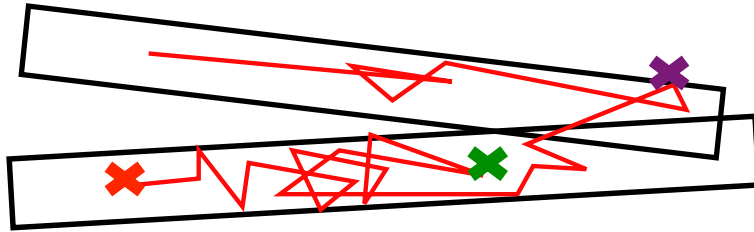
Mouvement Brownien

- L'accroissement $B(t+dt) - B(t)$ est indépendant
- Cet accroissement est une variable aléatoire de moyenne nulle et de variance dt



Résolution stochastique

- **Marche aléatoire à l'échelle de la fibre :**



1

Initialisation du marcheur :

Tirage aléatoire de la position et de la direction + tirage d'un libre parcours

2

Diffusion :

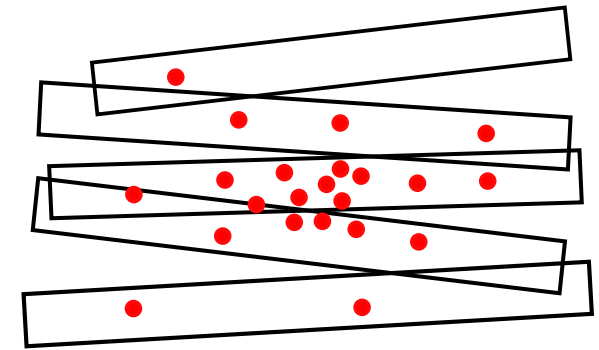
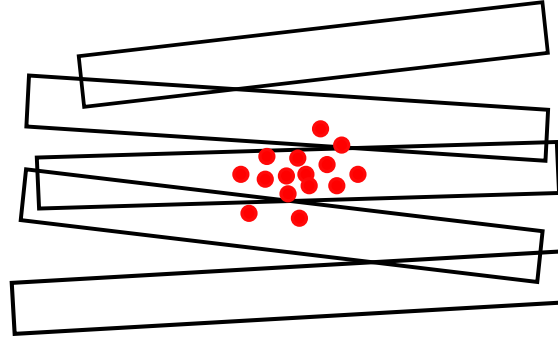
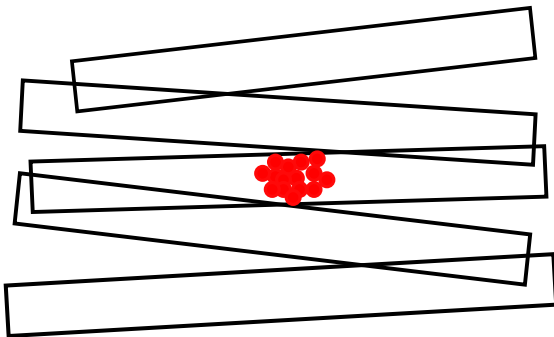
Tirage aléatoire d'une direction isotrope + tirage d'un nouveau libre parcours

3

Collision sans changement de phase :

Tirage aléatoire d'une direction suivant une loi de paroi + tirage d'un nouveau libre parcours

- **à l'échelle du matériau :** chaque marcheur possède une énergie Δh qui va se répartir



Résolution stochastique

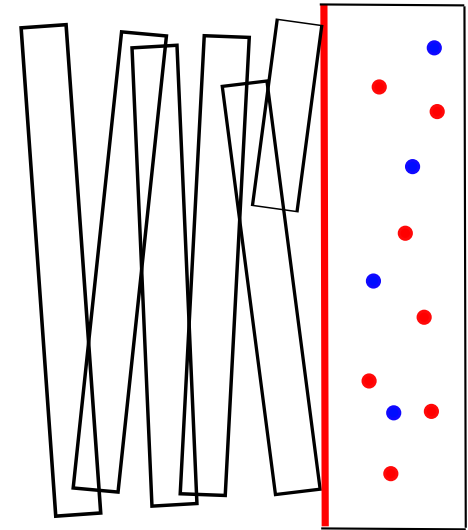
- **Conditions aux limites :**

- **Température imposée :**

- Réservoir avec un régulateur :**

- A intervalles de temps réguliers :

- Si le nombre de marcheur est trop important on en tue.
 - Si le nombre de marcheur est trop faible on en crée.

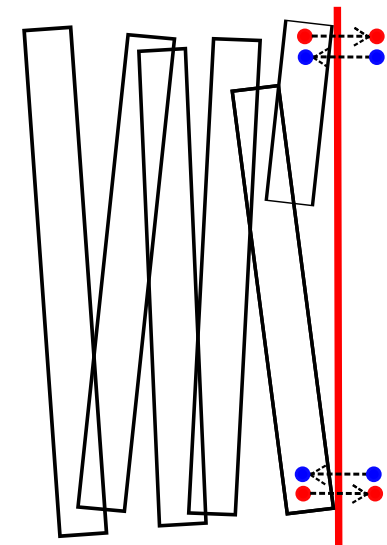


- **Flux imposé :**

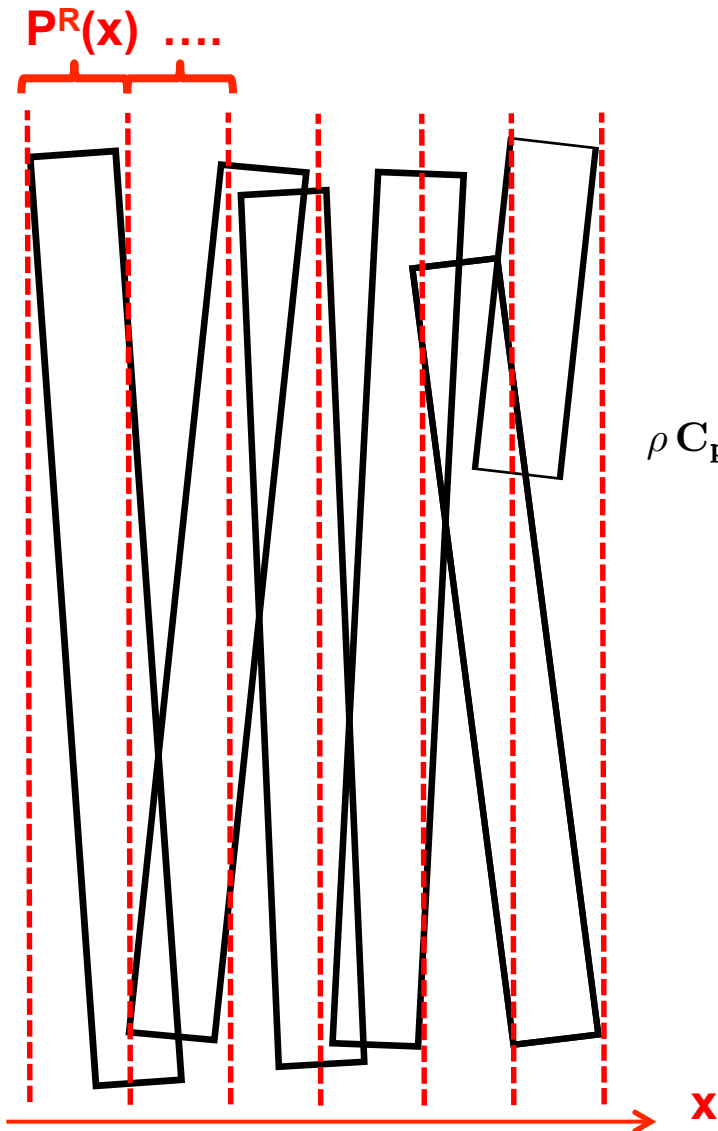
- Frontière avec un régulateur :**

- A intervalles de temps réguliers :

- Si le nombre de marcheur sortant est trop important on les fait rebondir vers l'intérieur.
 - Si le number de marcheur est trop faible on en fait rentrer.



Couplage avec le rayonnement



Régulation volumique de l'énergie :

A intervalles de temps réguliers :

- On crée des marcheurs si la puissance entraîne une montée trop importante de température.
- On en tue dans le cas contraire.

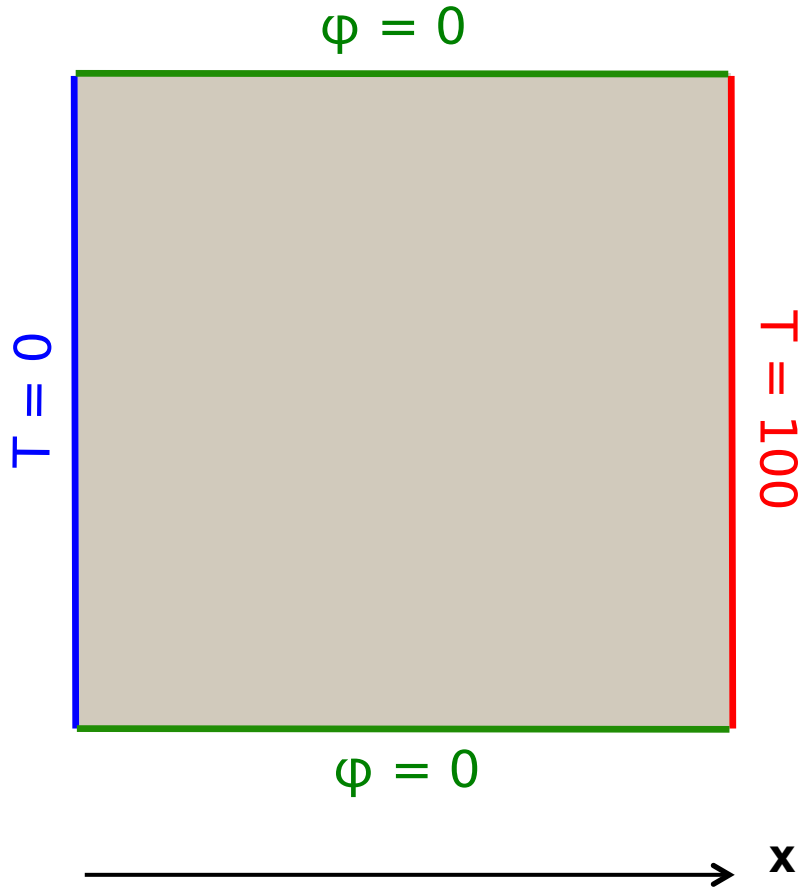
$$\rho C_p [T(t_w + dt_w) - T(t_w)] dV = P dV dt_w - dt_w \sum_s \vec{q} \cdot d\vec{S}$$

Limitation :

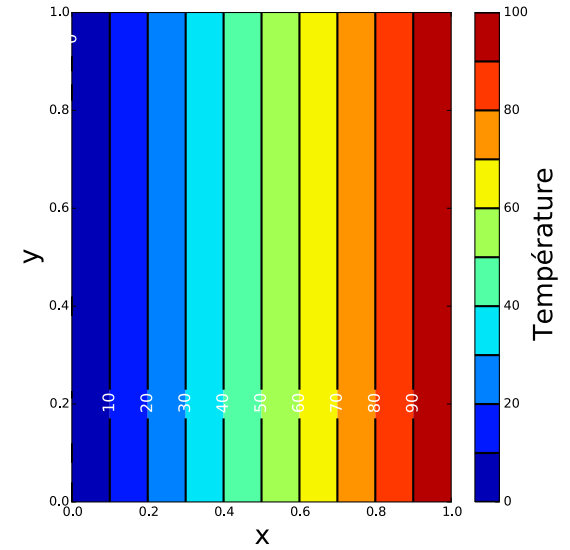
- Puissance 1D, on néglige les variations de température dans chaque tranche
- Impose une taille des tranches

- **Pourquoi les marches aléatoires ?**
 - Résolution sans maillage, ne nécessite que la connaissance de l'interface et des propriétés des phases en présence.
 - Ne demande que très peu de mémoire à la différence de la méthode des éléments finis.
 - Parallélisation très facile.
 - Gestion souple des conditions limites.

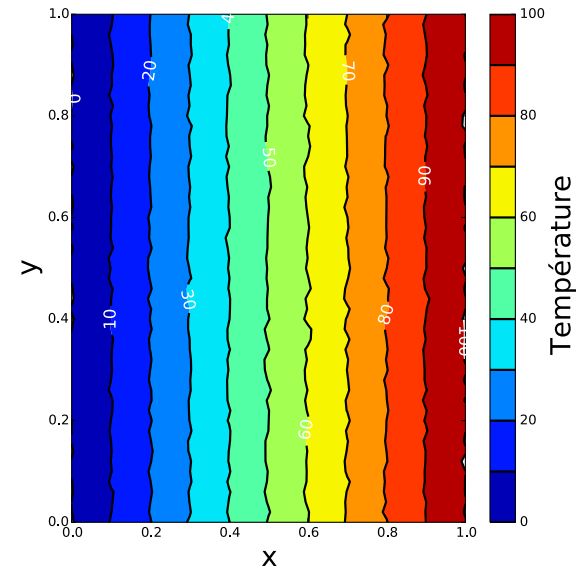
Un exemple



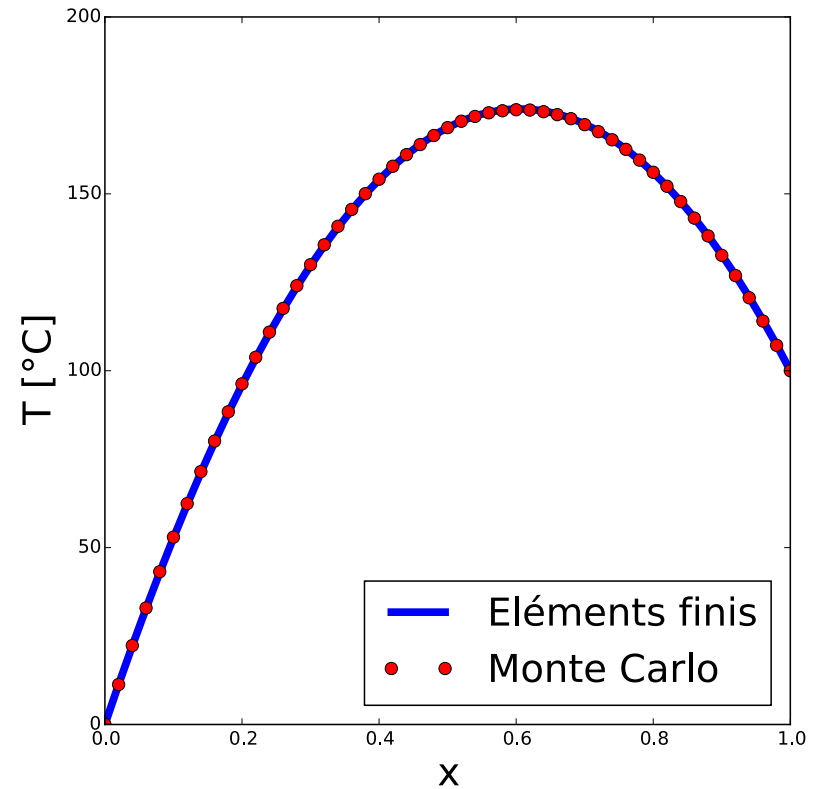
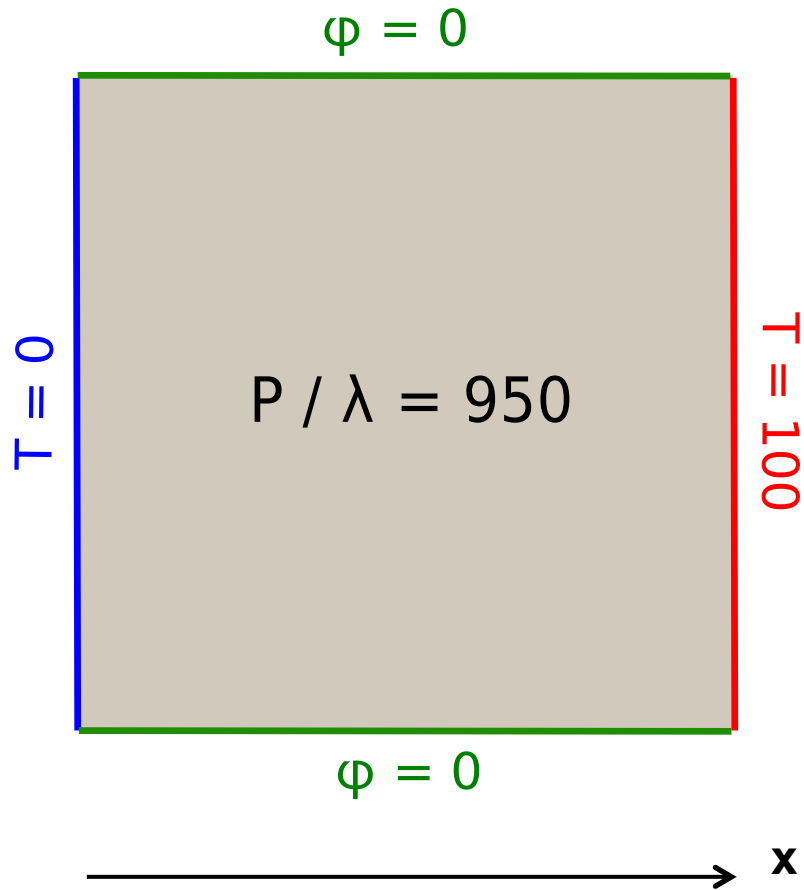
Éléments finis



Monte Carlo



Un exemple



Conclusion et perspectives

- **Modélisation du transfert radiatif et conductif :**
 - A travers un matériau comportant plusieurs phases pouvant être de nature non Beeriennes et proche d'une paroi.
 - Ne nécessite pas de maillage.
 - Connaissance des interfaces entre chaque phase.
 - Propriétés de la matière à une échelle inférieure à celle des pores (indice optique, réflectivité, absorptivité, conductivité).
 - Hypothèses du transfert thermique macroscopique, taille des pores plus grand que la longueur d'onde, le phénomène de diffraction est négligé.
- **Perspectives : Faire varier les paramètres**
 - Changer la configuration du milieu fibreux (Porosité, allongement, dispersion), les propriétés des fibres et du gaz.
 - Comparer avec les résultats issus d'autres codes et avec ceux obtenus expérimentalement.

Merci pour votre attention

Propriétés radiatives

- **Normalisation de la fonction de phase :**
 - Conservation de l'énergie :

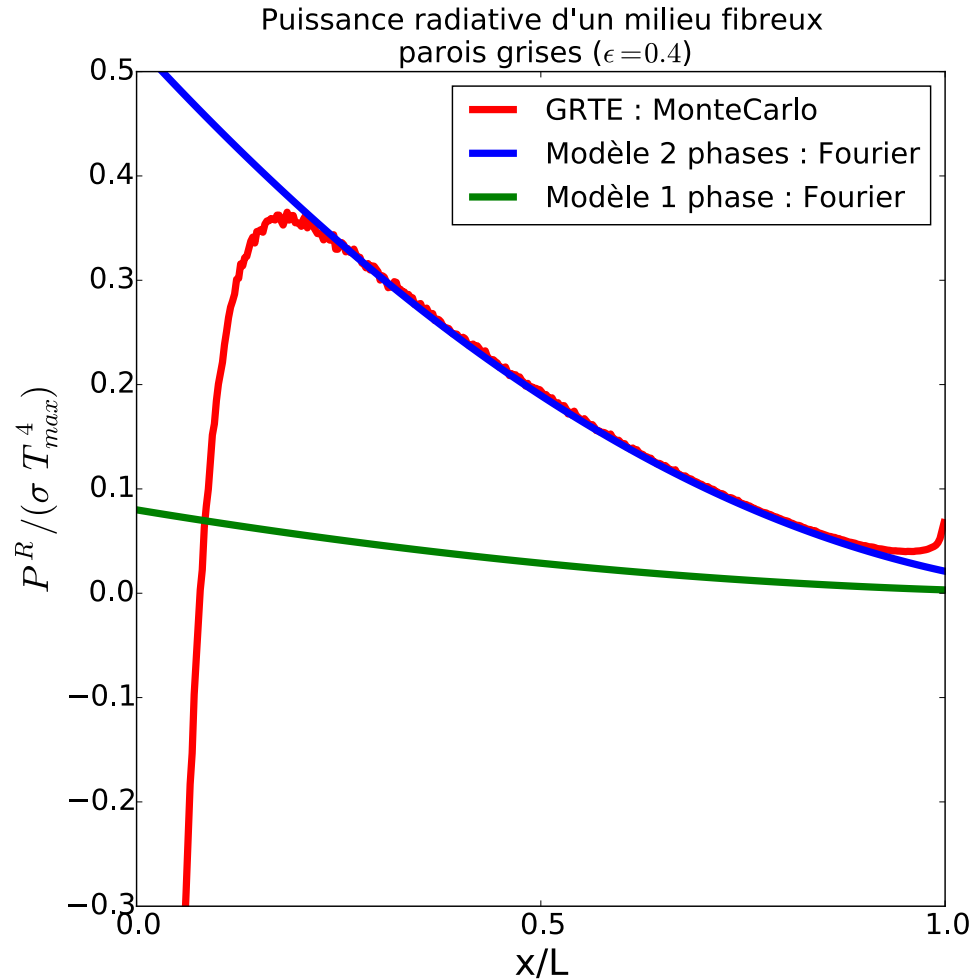
$$\frac{1}{4\pi} \int_{4\pi} p(u, u') d\Omega' = 1$$

- Respect du théorème de réciprocité :

$$\Sigma(u_1) p(u_1, u_2) = \Sigma(-u_2) p(-u_2, -u_1)$$

Puissances radiatives GRTE / Fourier

- En imposant un profil de température linéaire ($T_1/T_2 = 5$) :



RTE / GRTE

